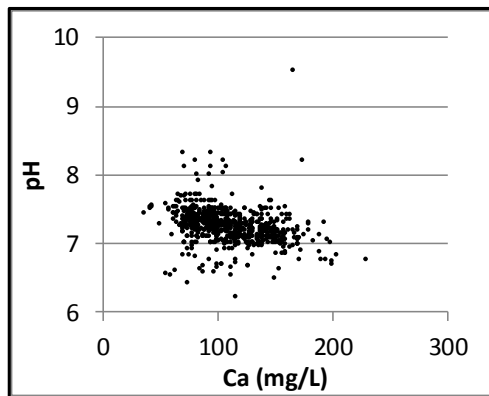
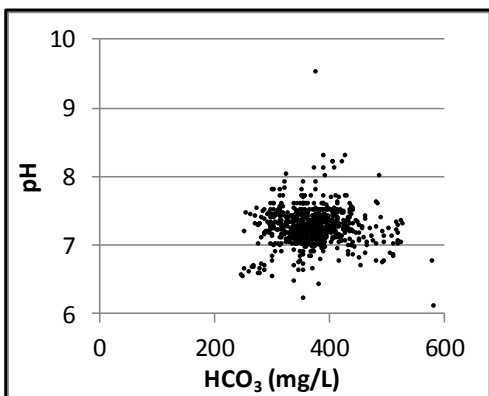
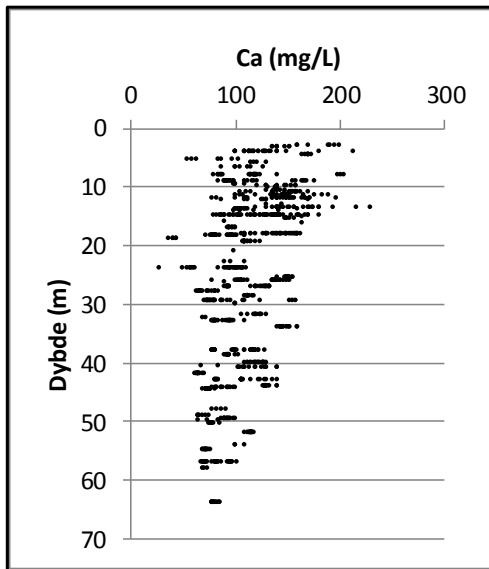
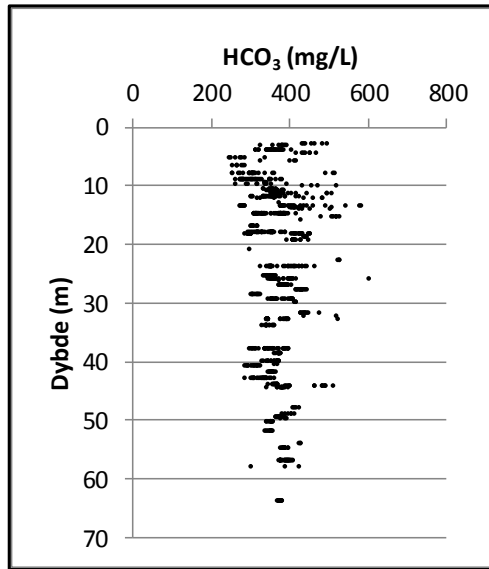
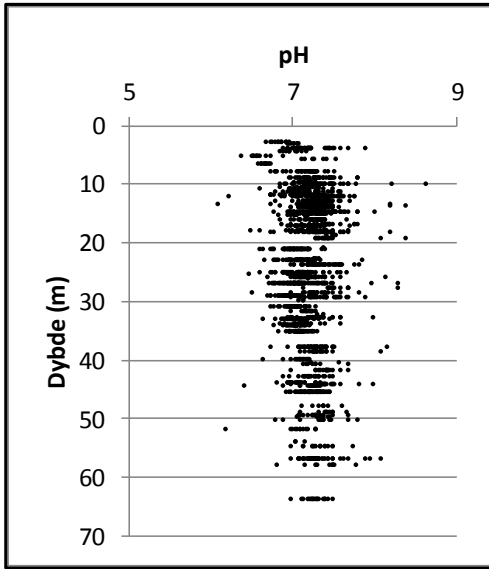


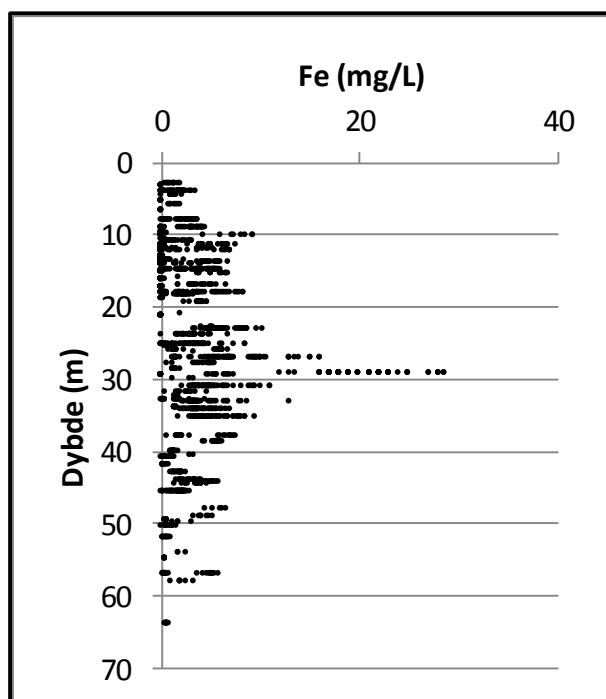
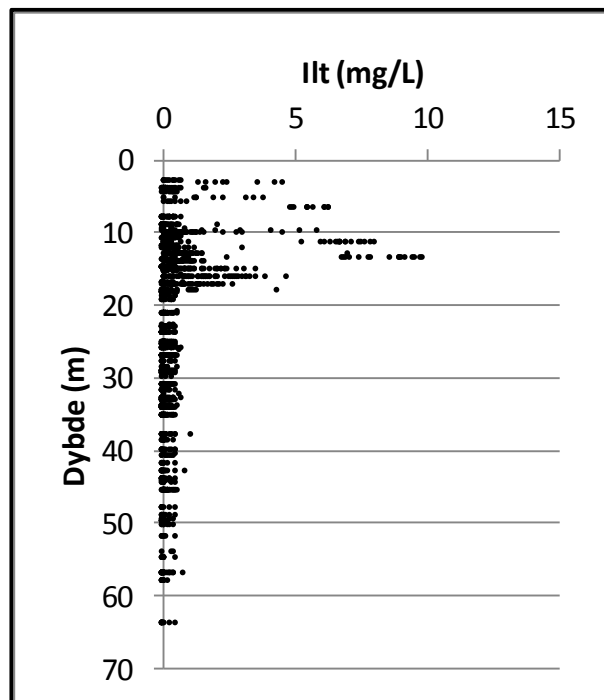
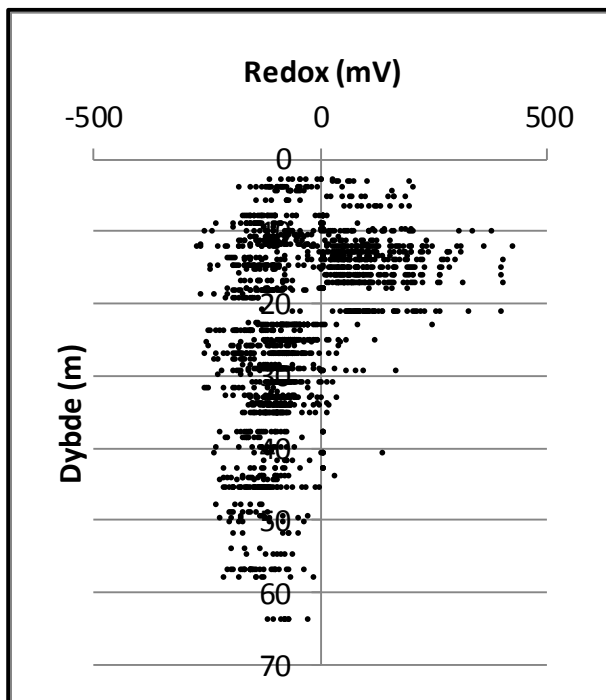
Lokalenhed Storstrøm (STO). Bilagsoversigt.

| | | |
|---------------------------------------|---|----------|
| pH-forhold | pH – dybde | Bilag 1 |
| | Hydrogencarbonat (HCO_3) – dybde | |
| | Ca – dybde | |
| | pH – Hydrogencarbonat (HCO_3) | |
| | pH – Ca | |
| Redoxforhold | Redoxpotentiale – dybde | Bilag 2 |
| | Ilt (O_2) – dybde | |
| | Fe- dybde | |
| | O_2 – Fe | |
| | O_2 – NH_4 | |
| | NO_3 – Fe | |
| | NO_3 – NH_4 | |
| | Vandtype | |
| Salte | Cl – dybde | Bilag 3 |
| | Cl – ledningsevne | |
| | Cl – Na | |
| | Check ionbalancen (+/- 10 %) | |
| NVOC | NVOC – dybde | Bilag 4 |
| | NVOC – O_2 | |
| | NVOC – pH | |
| Phosphor (PO_4 -P og P-tot) | PO_4 – dybde | Bilag 5 |
| | P-tot – dybde | |
| | PO_4 -P – P-tot | |
| | Check om P-tot \geq PO_4 -P | |
| Sulfat (SO_4) | SO_4 – dybde | Bilag 6 |
| Aluminium (Al) | Al – dybde | Bilag 7 |
| | Al – pH | |
| Arsen (As) | As – dybde | Bilag 8 |
| | As – O_2 | |
| Bor (B) | B – dybde | Bilag 9 |
| | B – Cl | |
| Barium (Ba) | Ba – dybde | Bilag 10 |
| | Ba – SO_4 | |
| Beryllium (Be) | Be – dybde | Bilag 11 |
| | Be – pH | |
| | Be – NVOC | |
| Brom (Br) | Br – dybde | Bilag 12 |
| | Br – Cl | |
| Cadmium (Cd) | Cd – dybde | Bilag 13 |
| | Cd – pH | |
| | Cd – NVOC | |
| Kobber (Cu) | Cu – dybde | Bilag 14 |
| | Cu – pH | |
| | Cu – NVOC | |
| Kviksølv (Hg) | Hg – dybde | Bilag 15 |
| | Hg – NVOC | |

| | | |
|-------------------|--|----------|
| Jod (I) | I – dybde | Bilag 16 |
| | I – NVOC | |
| | I – Cl | |
| Nikkel (Ni) | Ni – dybde | Bilag 17 |
| | Ni – pH | |
| | Ni – O ₂ | |
| | Ni – NO ₃ | |
| | Ni – NVOC | |
| Bly (Pb) | Pb – dybde | Bilag 18 |
| | Pb – pH | |
| | Pb – NVOC | |
| Zink (Zn) | Zn – dybde | Bilag 19 |
| | Zn – pH | |
| | Zn – NVOC | |
| Mikroforureninger | Hvis fund (dvs. koncentration > detektionsgrænsen) vurderes muligheden for falske positive som følge af prøvetagning eller analysefejl (mange analyser med fund med samme analysedato) | |

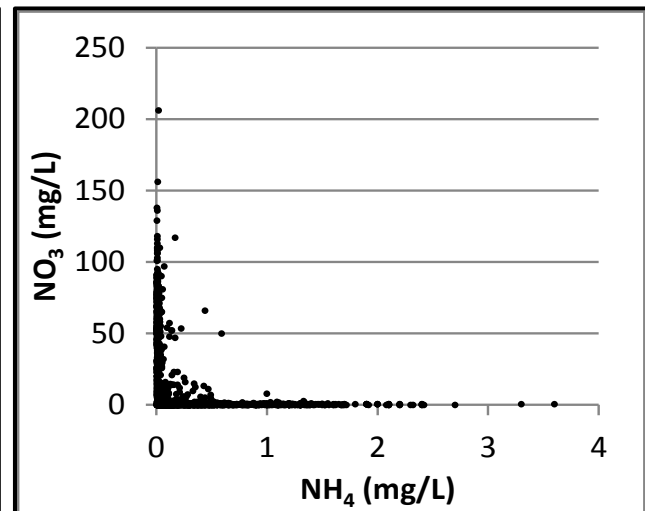
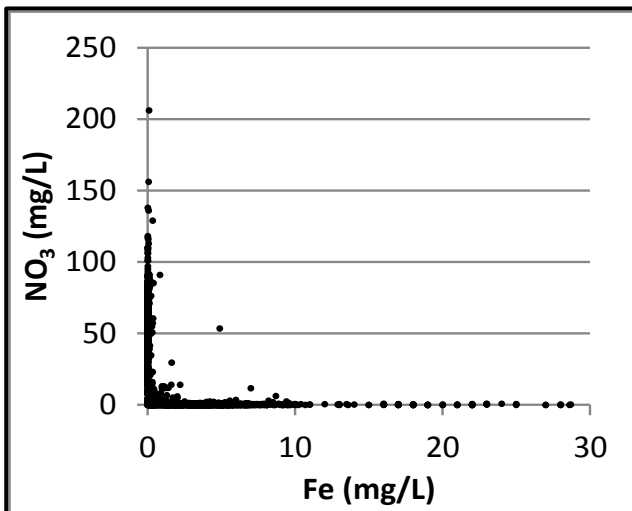
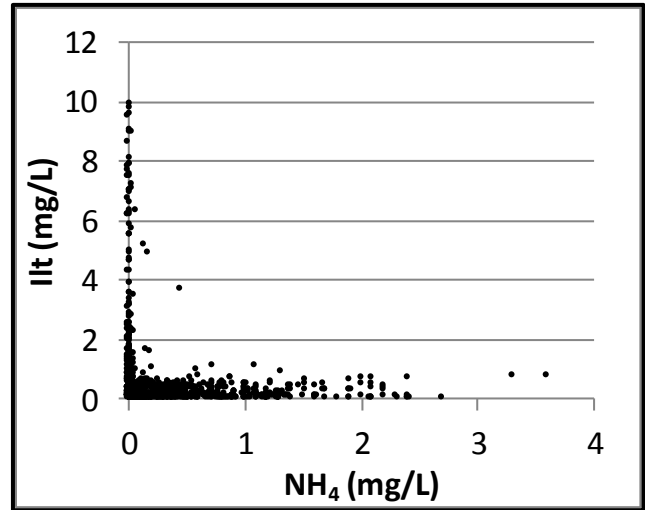
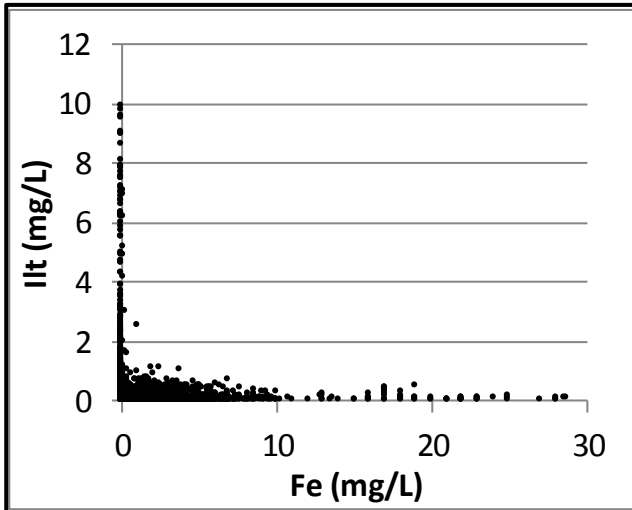


Bilag 1. Lokalenhed Storstrøm. pH, hydrogencarbonat (HCO_3) og calcium (Ca) vs dybde, pH og hydrogencarbonat samt pH og calcium. Data er indsamlet i perioden 1993-2013 fra aktive borer i 2013. Koncentrationer under detektionsgrænsen er vist med den numeriske værdi.

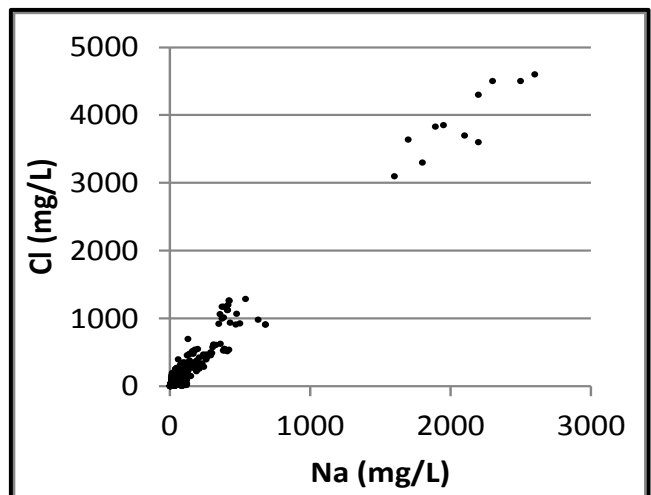
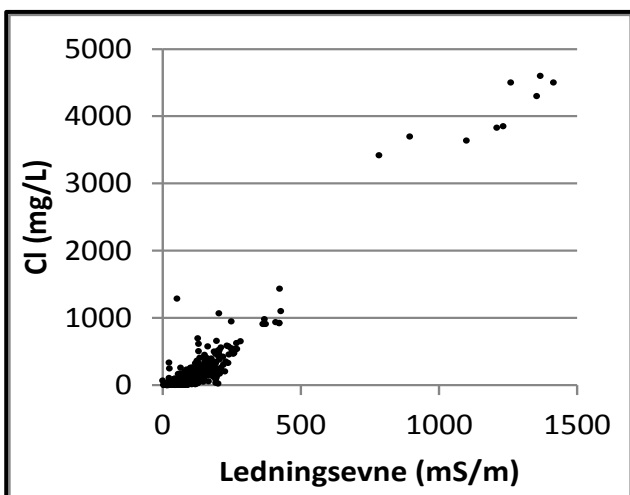
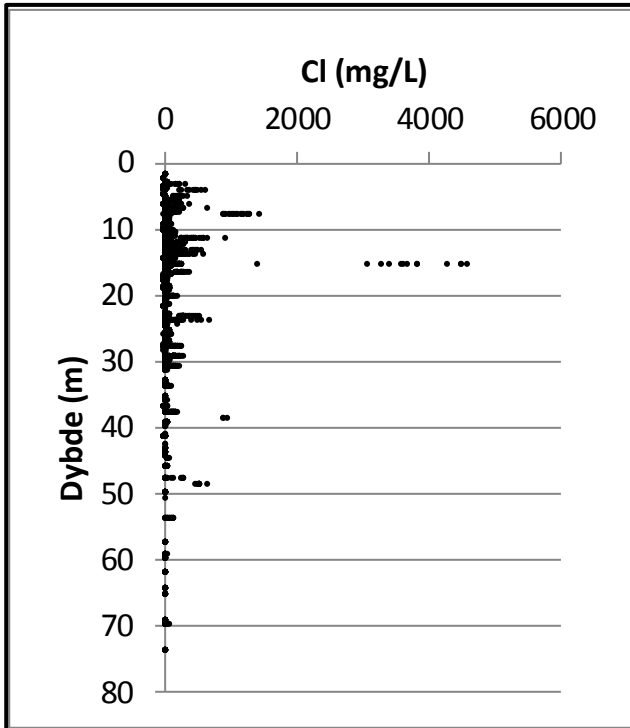


Bilag 2. Lokalenhed Storstrøm. Redoxpotential, ilt og jern vs dybder. Data er indsamlet i perioden 1993-2013 fra aktive borer i 2013. Koncentrationer under detektionsgrænsen er vist med den numeriske værdi.

Vandtypen kan bestemmes som beskrevet i figur 4.2 i Geo-vejledning 6. 2009. Kemisk grundvandskortlægning . B. Hansen, L. Mosin, L. Ramsay, L. Thorling, V. Ernstsen, J. Jørgensen og M. Kristensen

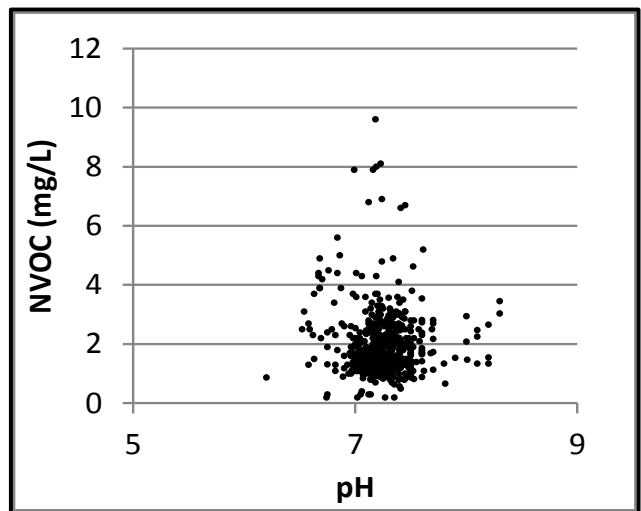
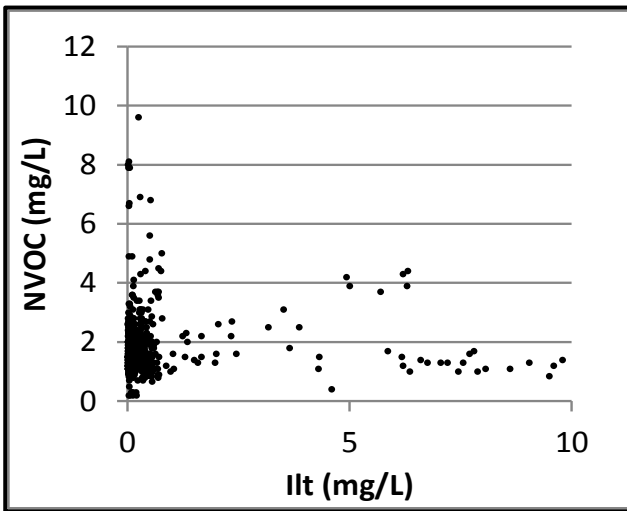
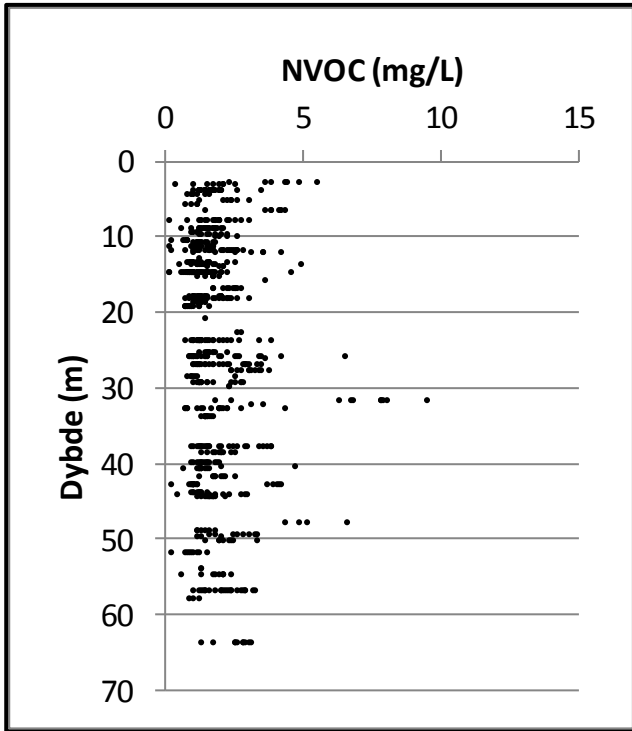


Bilag 2 Lokalenhed Storstrøm. Ilt (O_2) og jern (Fe), ilt og ammonium (NH_4), nitrat (NO_3) og jern samt nitrat og ammonium. Data er indsamlet i perioden 1993-2013 fra aktive boringer i 2013. Koncentrationer under detektionsgrænsen er vist med den numeriske værdi.

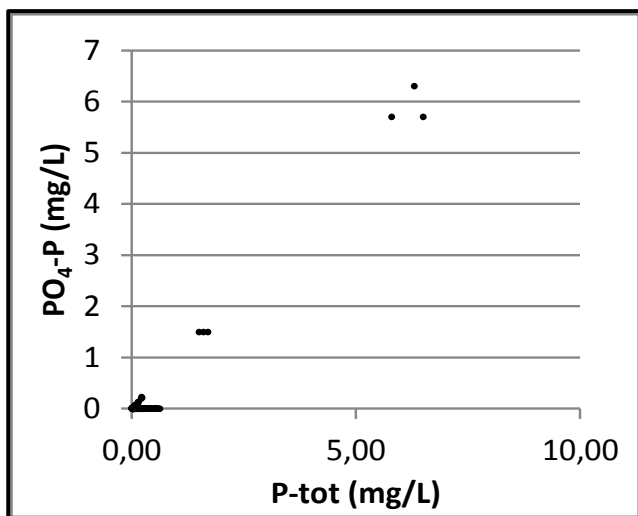
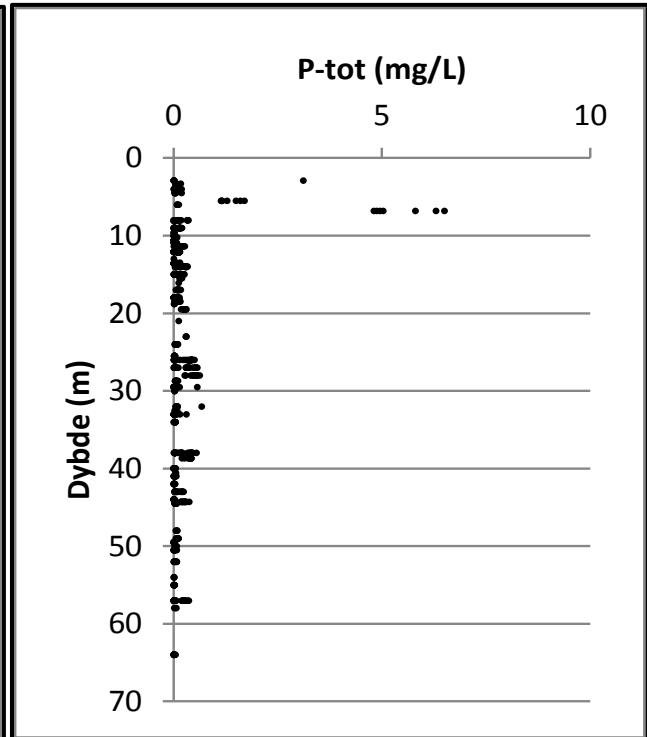
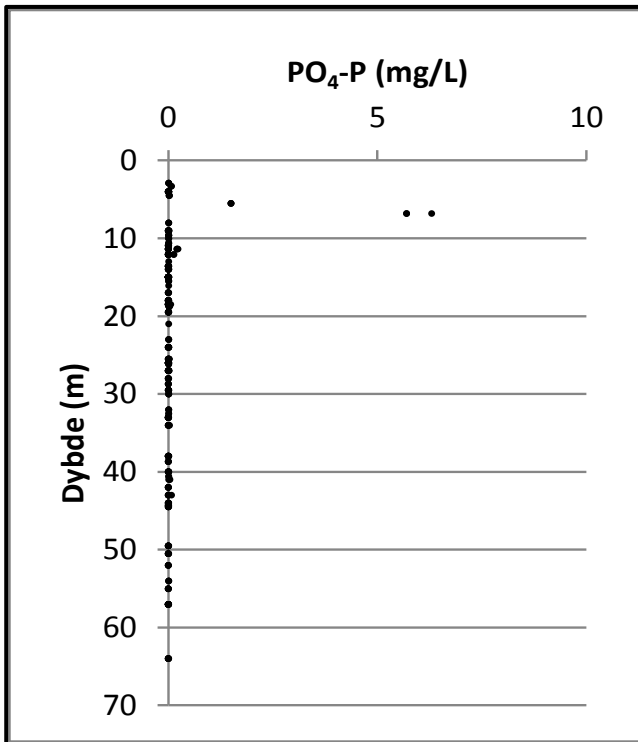


Bilag 3. Lokalenhed Storstrøm. Chlorid (Cl) og ledningsevne vs. dybde, chlorid og ledningsevne samt chlorid og natrium (Na). Data er indsamlet i perioden 1993-2013 fra aktive boringer i 2013. Koncentrationer under detektionsgrænsen er vist med den numeriske værdi.

Check om ionbalancen stemmer: forskellen mellem positive og negative ladninger skal være $\pm 10\%$.

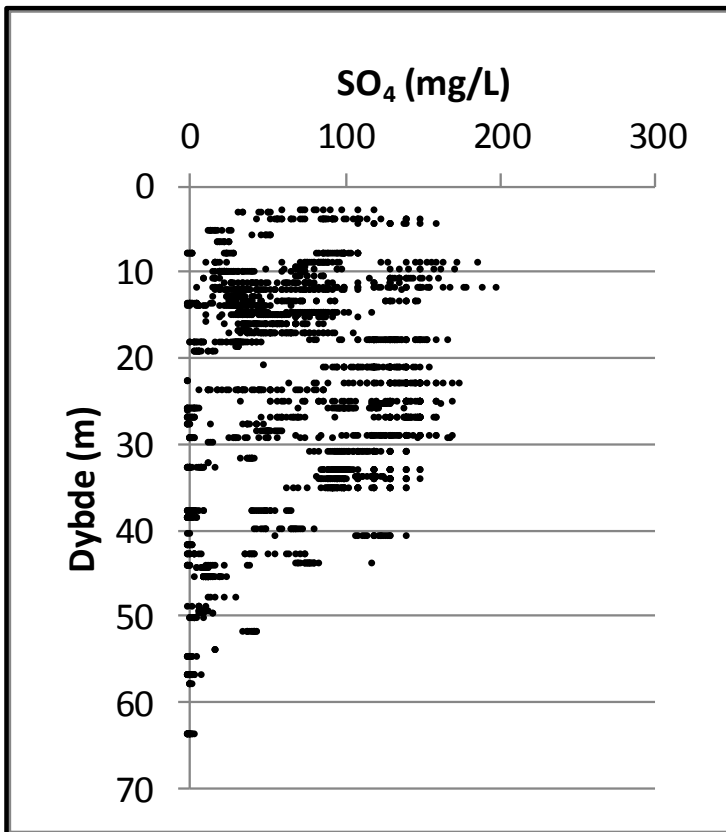


Bilag 4. Lokalenhed Storstrøm. NVOC vs. dybde, NVOC og ilt (O_2) samt NVOC og pH. Data er indsamlet i perioden 1993-2013 fra aktive boringer i 2013. Koncentrationer under detektionsgrænsen er vist med den numeriske værdi.

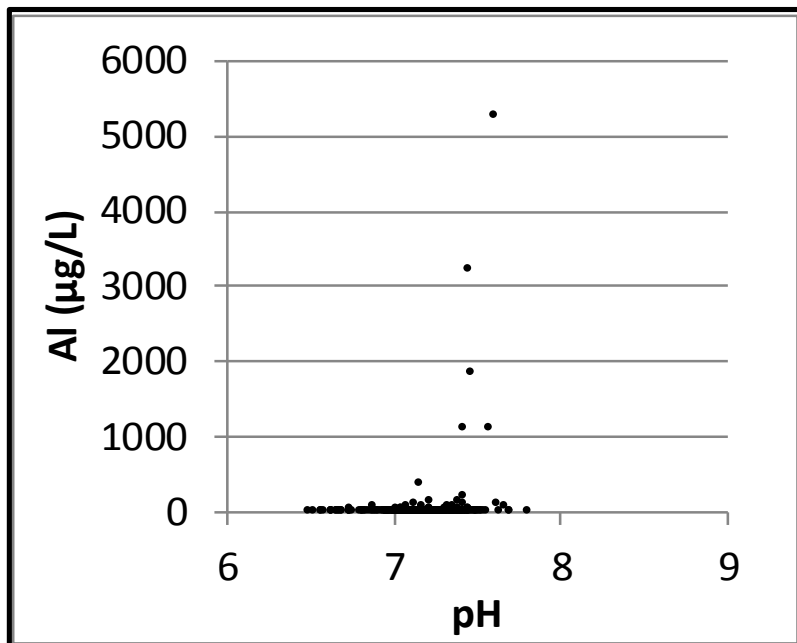
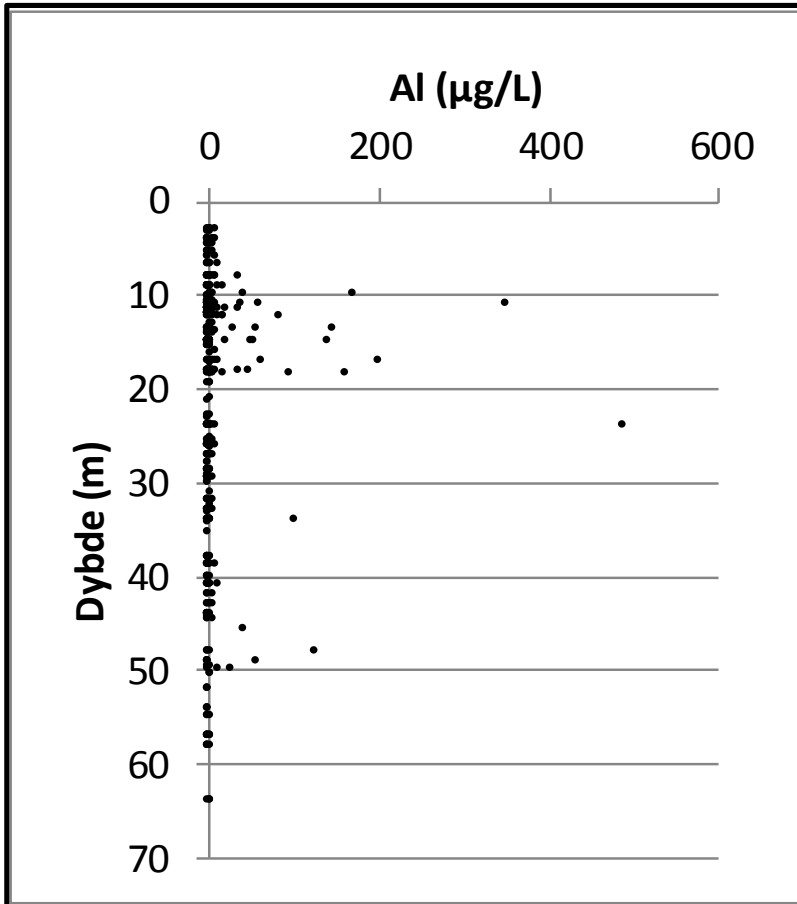


Bilag 5. Lokalenhed Storstrøm. Phosphat (PO₄-P) og total-fosfor (P-tot) vs. dybde samt PO₄-P og P-tot. Data er indsamlet i perioden 1993-2013 fra aktive boringer i 2013. Koncentrationer under detektionsgrænsen er vist med den numeriske værdi.

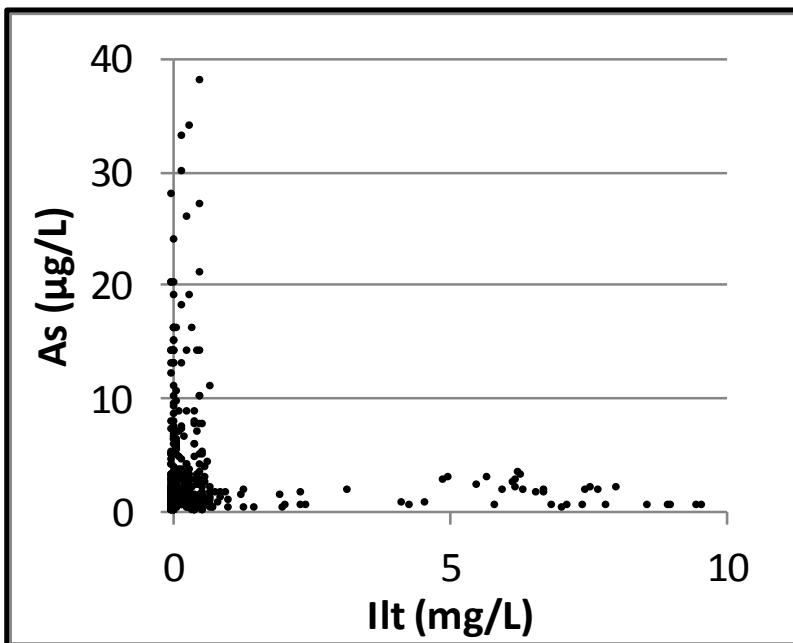
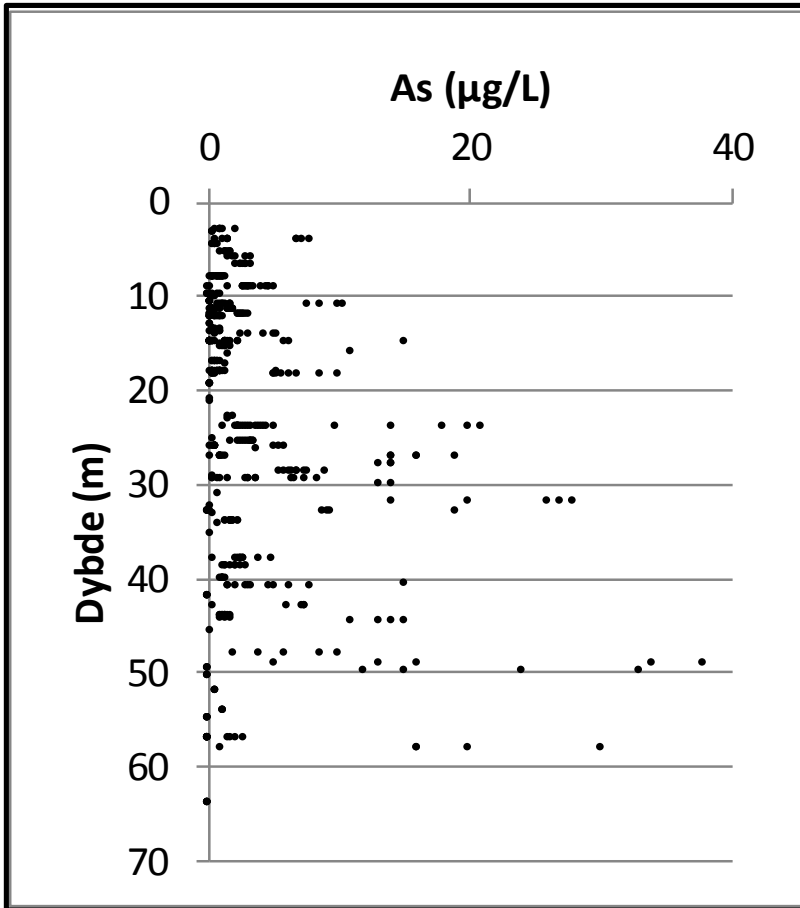
Koncentrationen af PO₄-P skal være mindre eller lig med koncentrationen af P-tot.



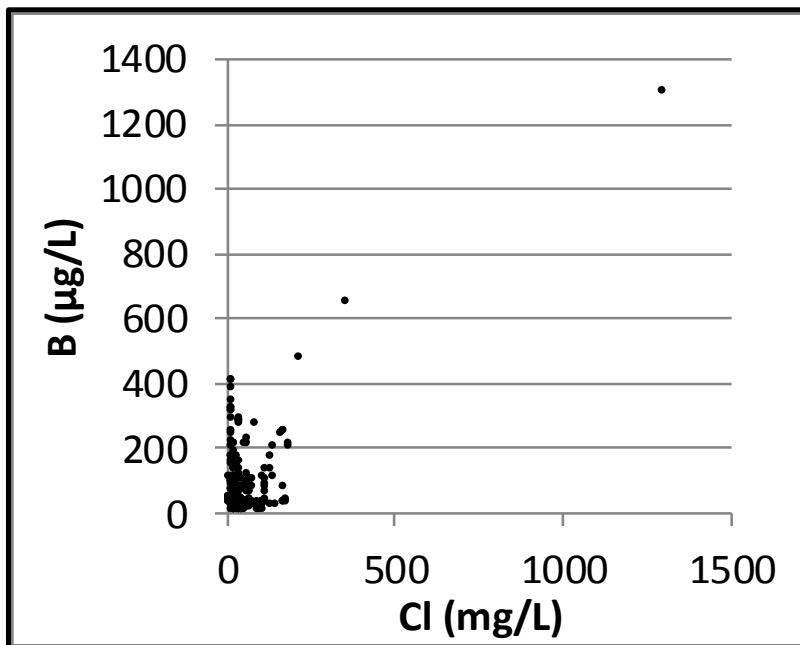
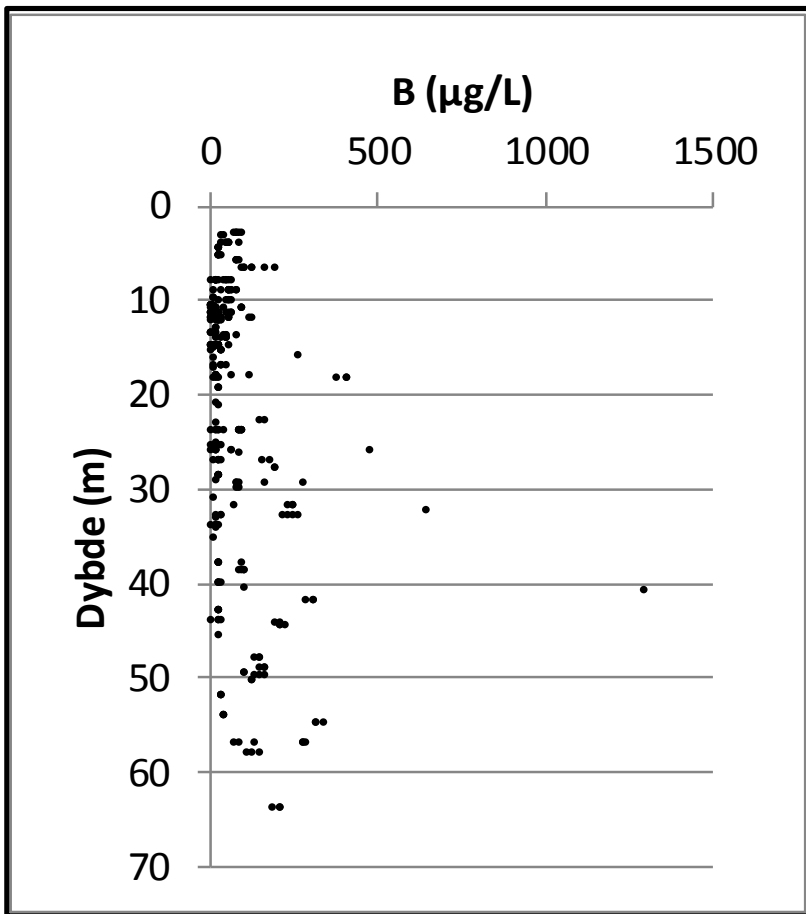
Bilag 6. Lokalenhed Storstrøm. Sulfat (SO_4) vs. dybde. Data er indsamlet i perioden 1993-2013 fra aktive boringer i 2013. Koncentrationer under detektionsgrænsen er vist med den numeriske værdi.



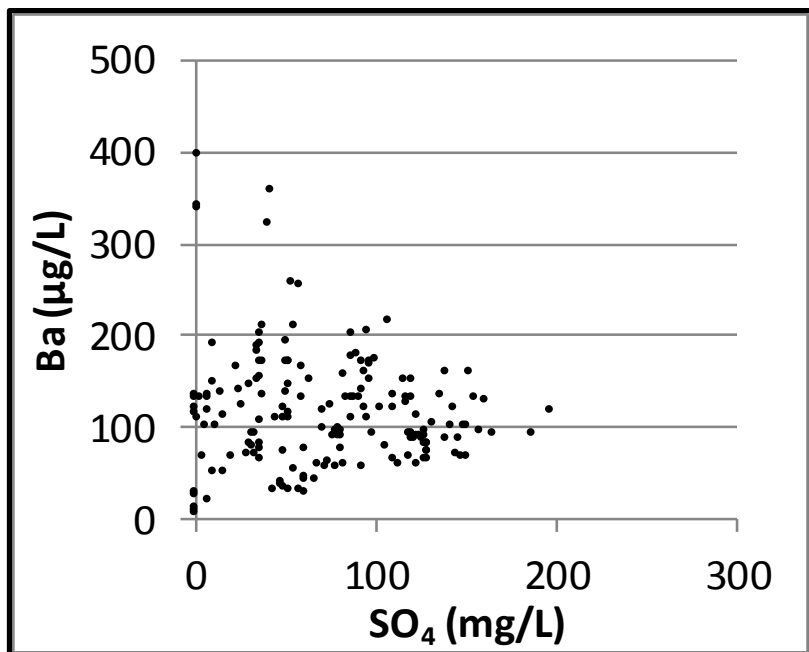
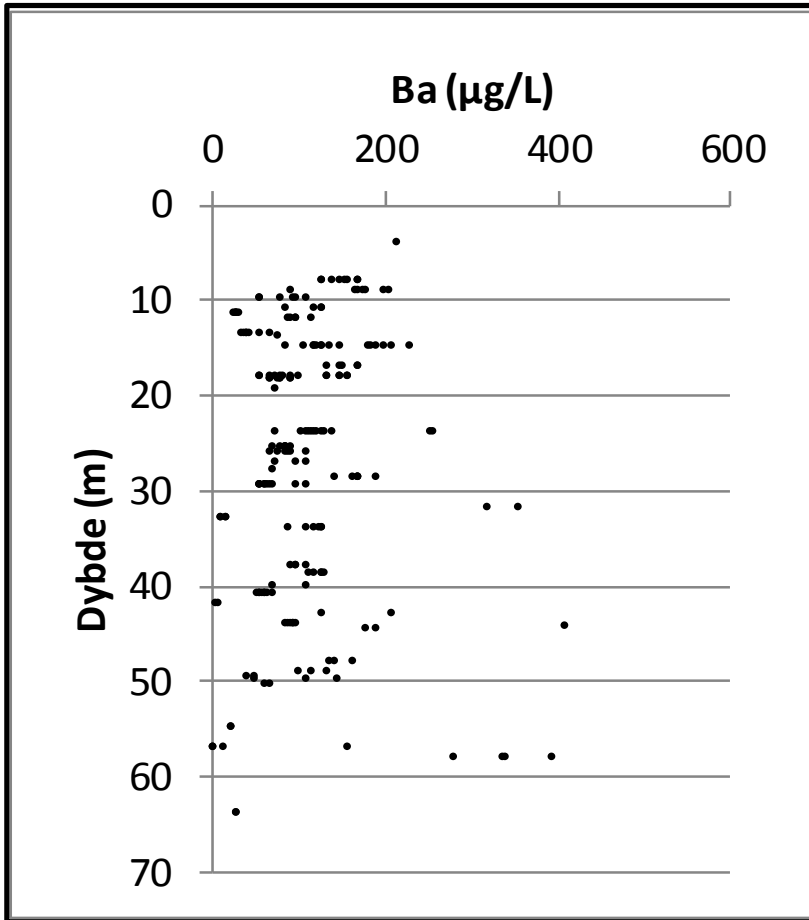
Bilag 7. Lokalenhed Storstrøm. Aluminium (Al) vs dybde samt aluminium og pH. Data er indsamlet i perioden 1993-2013 fra aktive borer i 2013. Koncentrationer under detektionsgrænsen er vist med den numeriske værdi.



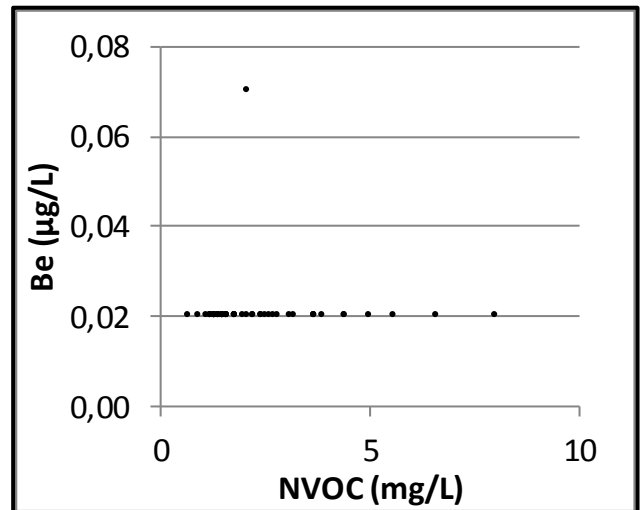
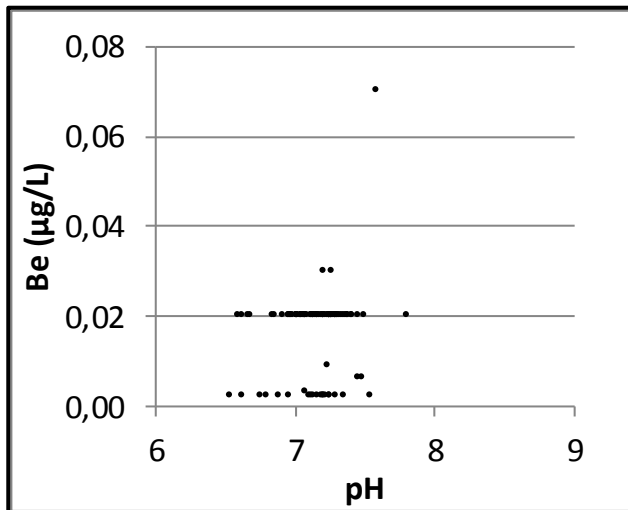
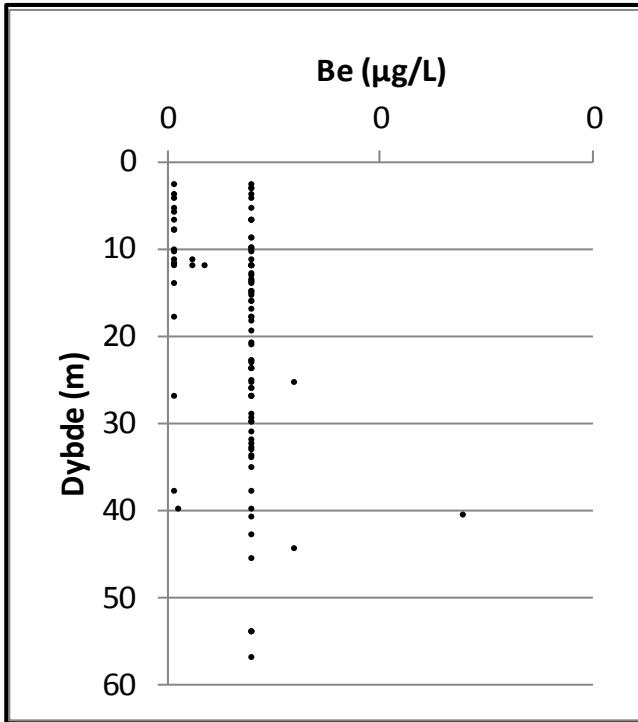
Bilag 8. Lokalenhed Storstrøm. Arsen vs dybde samt arsen og ilt (O_2). Data er indsamlet i perioden 1993-2013 fra aktive boringer i 2013. Koncentrationer under detektionsgrænsen er vist med den numeriske værdi.



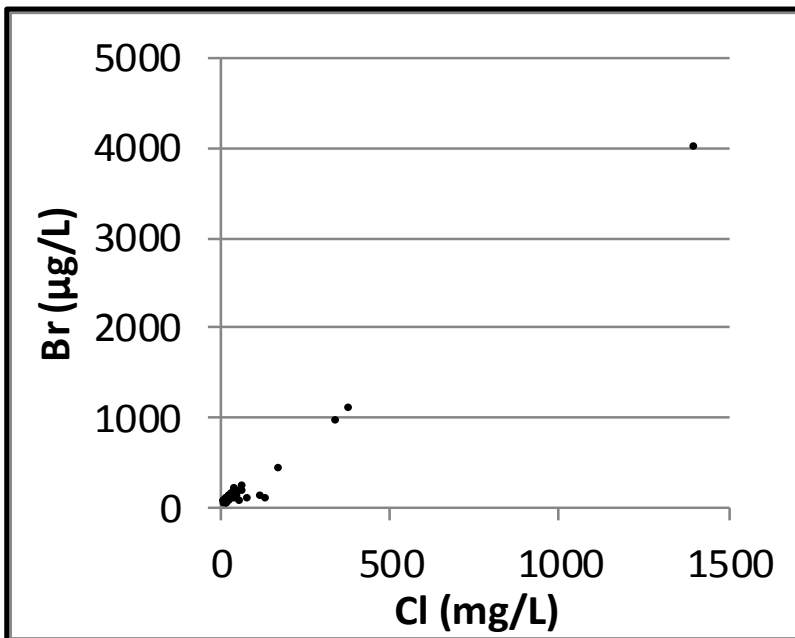
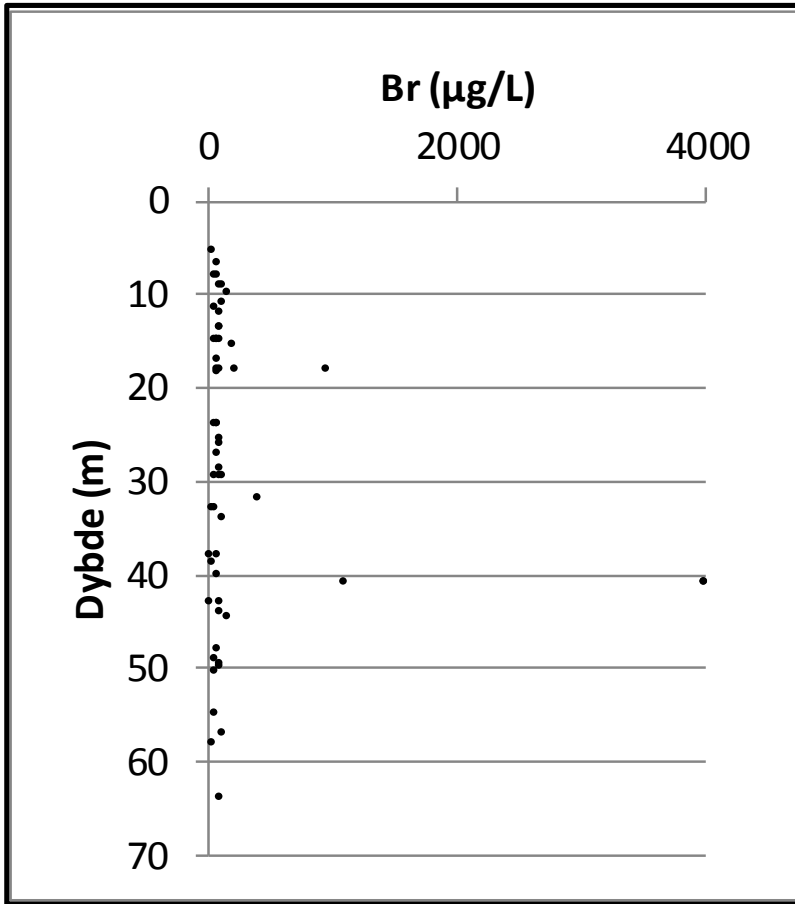
Bilag 9. Lokalenhed Storstrøm. Bor (B) vs dybde samt bor og chlorid (Cl). Data er indsamlet i perioden 1993-2013 fra aktive boringer i 2013. Koncentrationer under detektionsgrænsen er vist med den numeriske værdi.



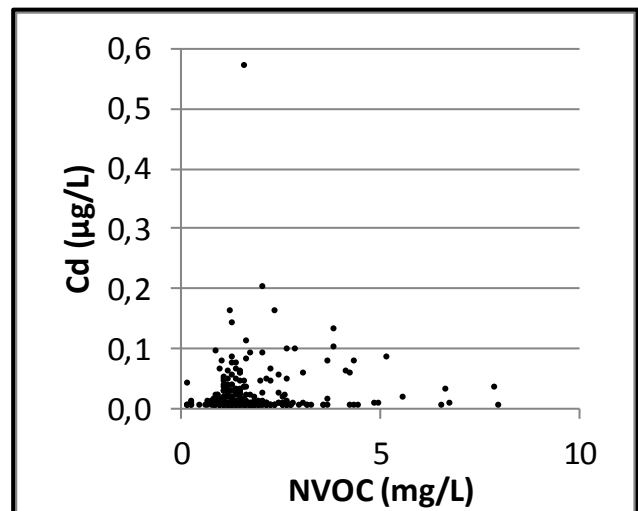
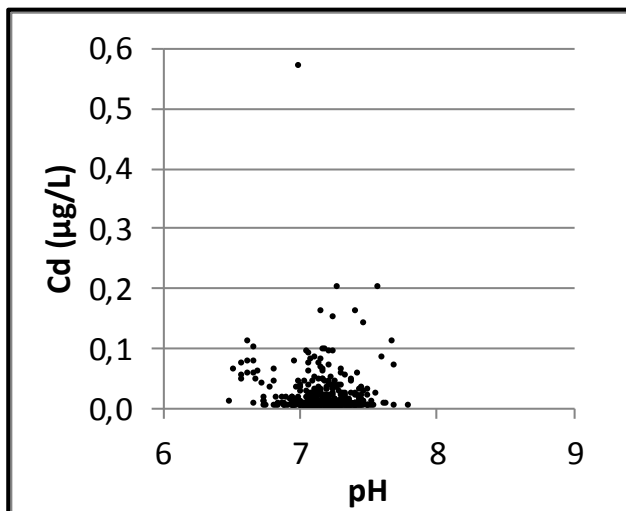
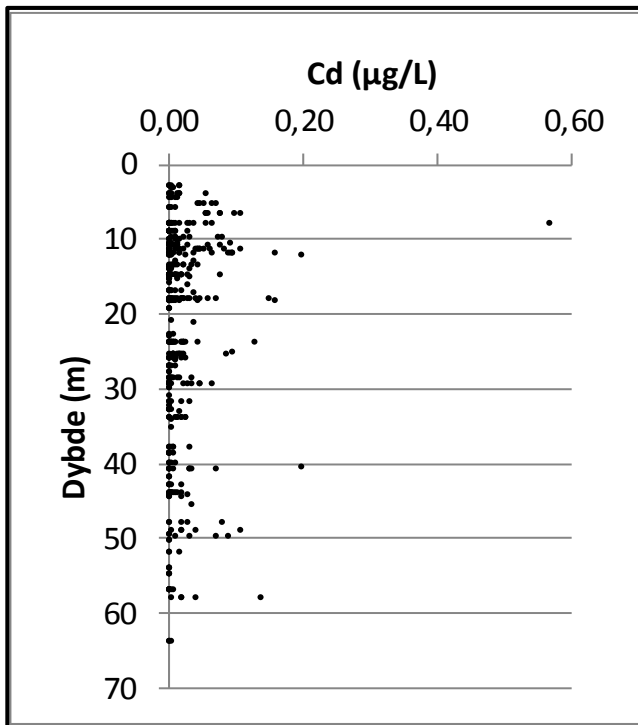
Bilag 10. Lokalenhed Storstrøm. Barium vs dybde samt barium og sulfat (SO₄). Data er indsamlet i perioden 1993-2013 fra aktive borer i 2013. Koncentrationer under detektionsgrænsen er vist med den numeriske værdi.



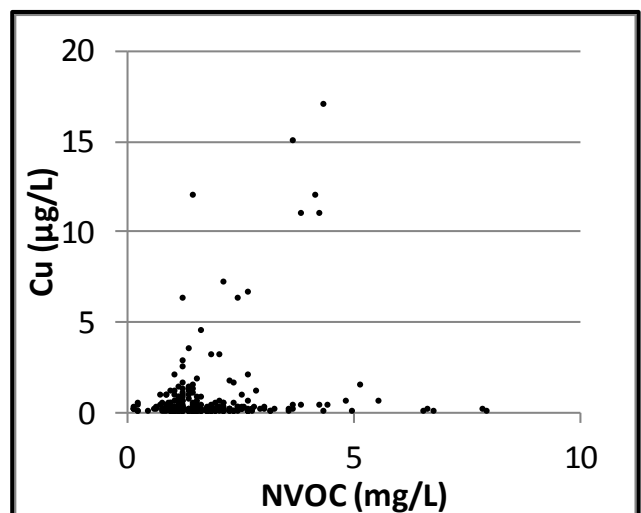
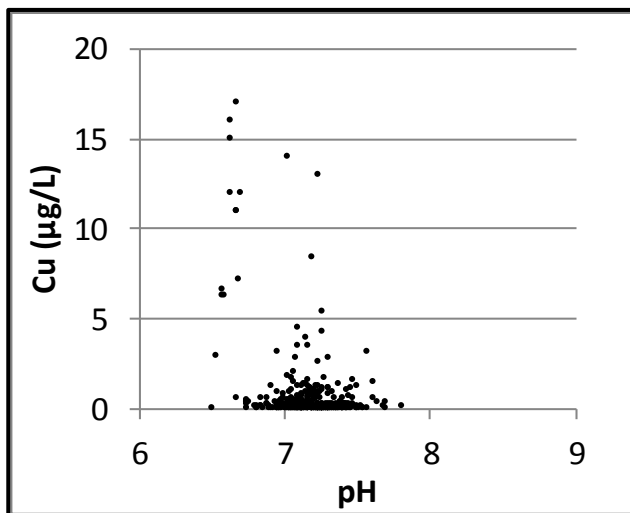
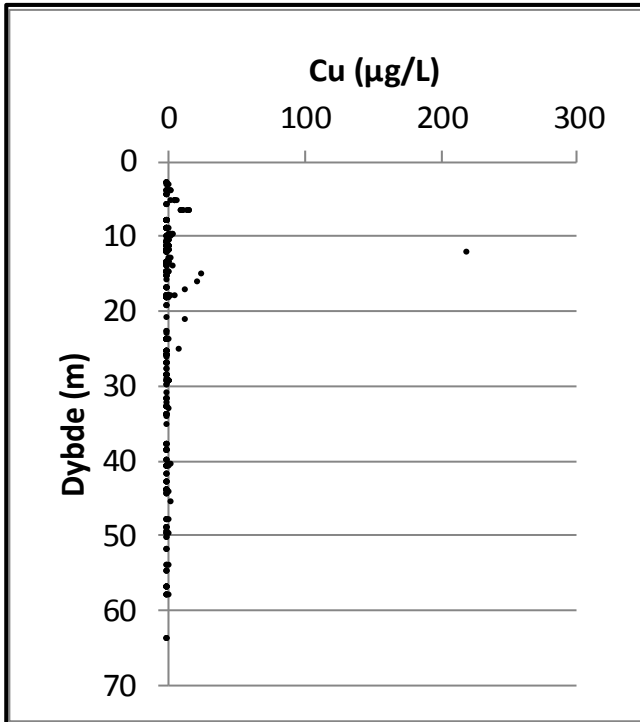
Bilag 11. Lokalenhed Storstrøm. Beryllium (Be) vs dybde, beryllium og pH samt beryllium og NVOC. Data er indsamlet i perioden 1993-2013 fra aktive boringer i 2013. Koncentrationer under detektionsgrænsen er vist med den numeriske værdi.



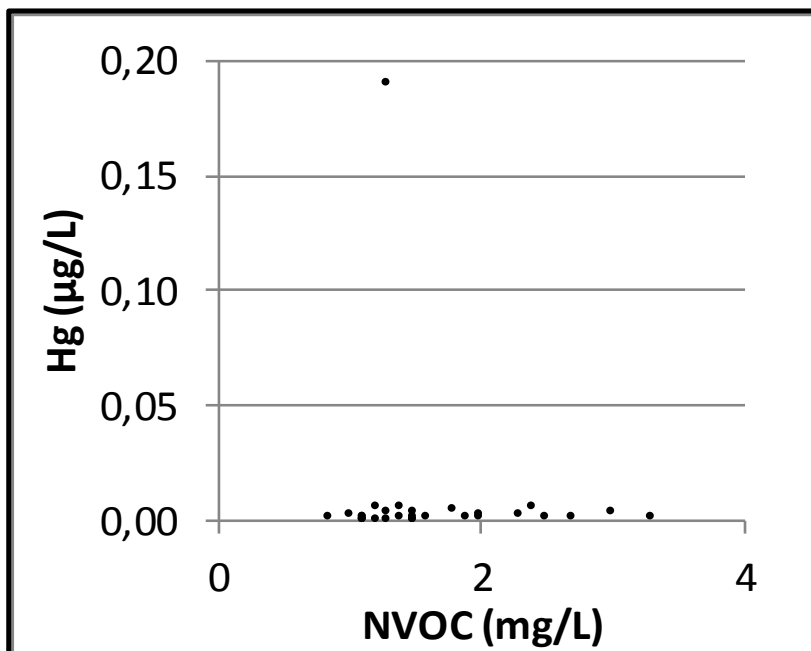
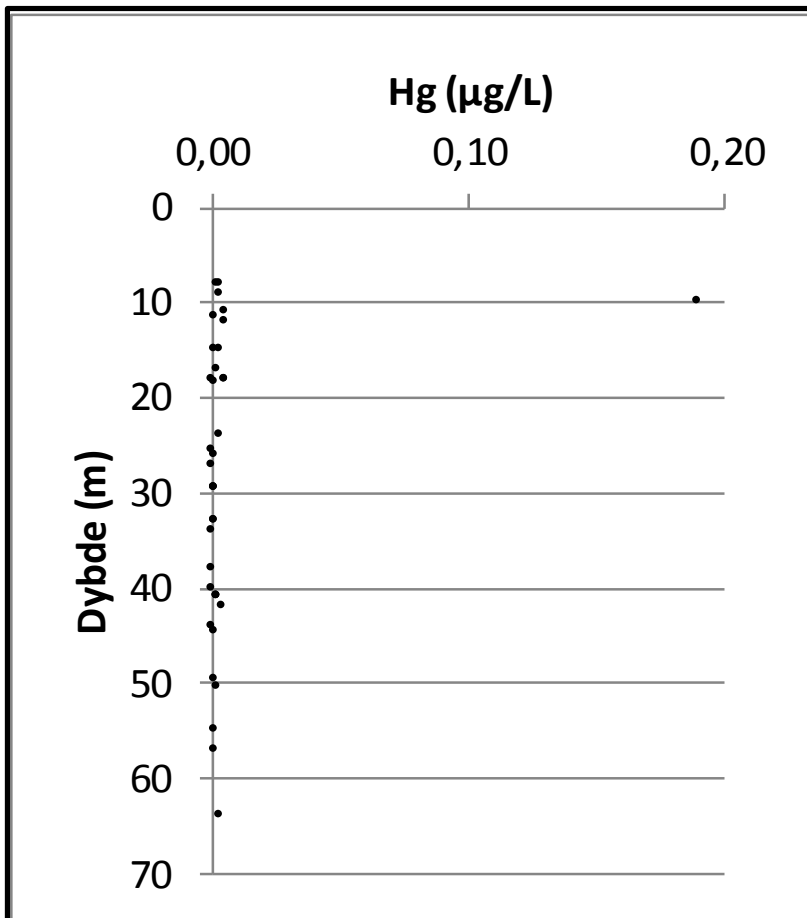
Bilag 12. Lokalenhed Storstrøm. Brom (Br) vs dybde samt brom og chlorid (Cl). Data er indsamlet i perioden 1993-2013 fra aktive borer i 2013. Koncentrationer under detektionsgrænsen er vist med den numeriske værdi.



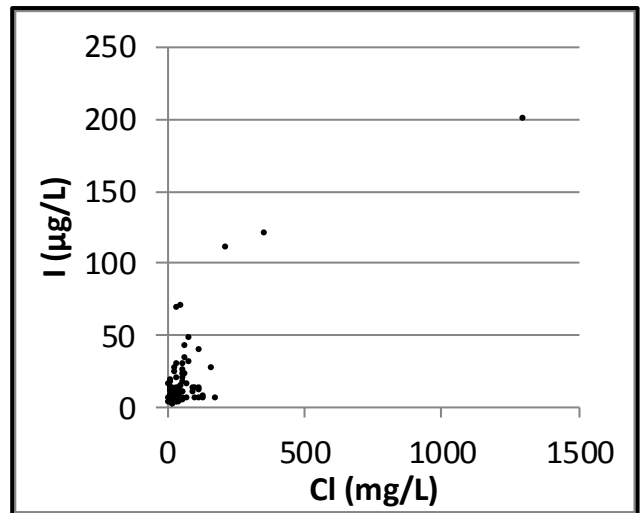
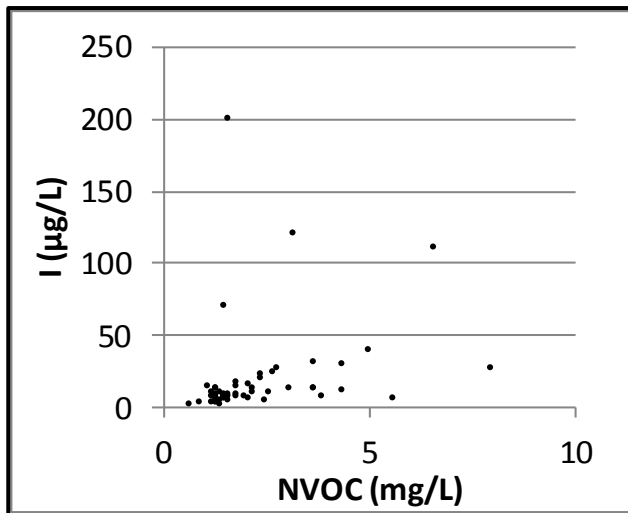
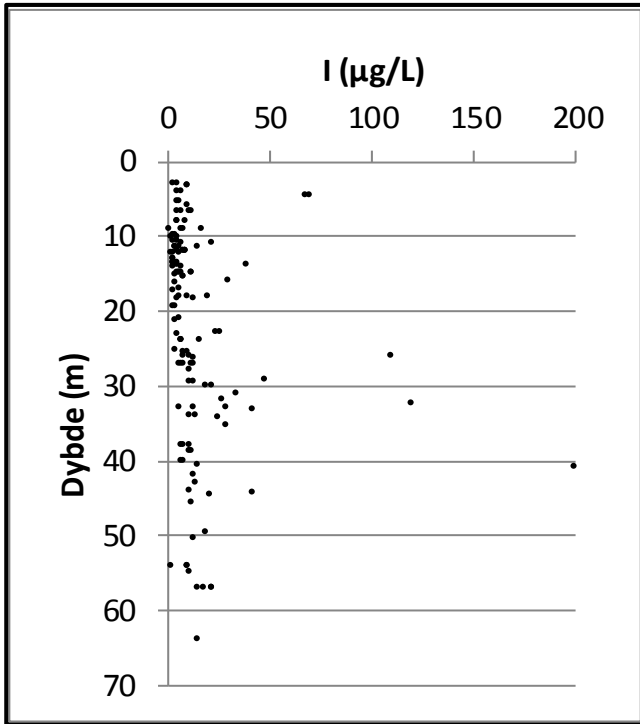
Bilag 13. Lokalenhed Storstrøm. Cadmium (Cd) vs dybde, cadmium og pH samt cadmium og NVOC. Data er indsamlet i perioden 1993-2013 fra aktive boringer i 2013. Koncentrationer under detektionsgrænsen er vist med den numeriske værdi.



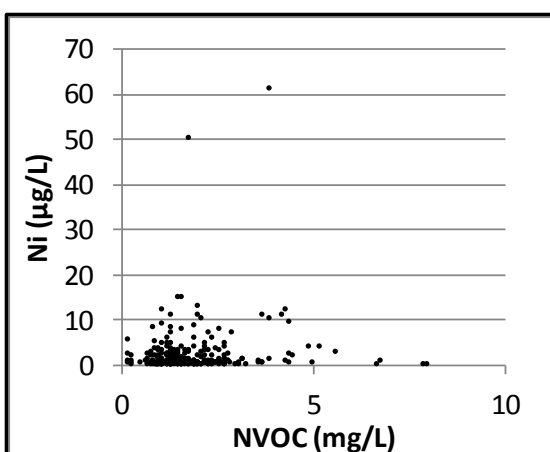
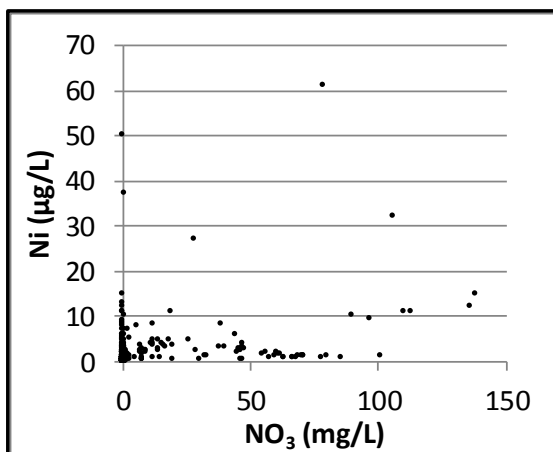
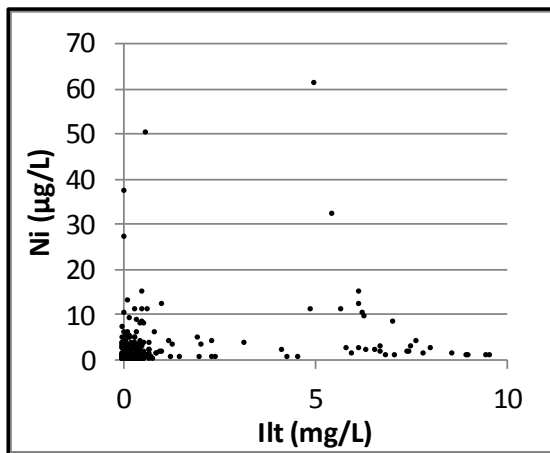
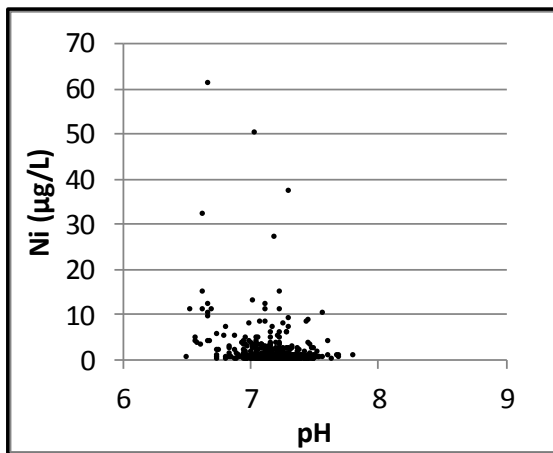
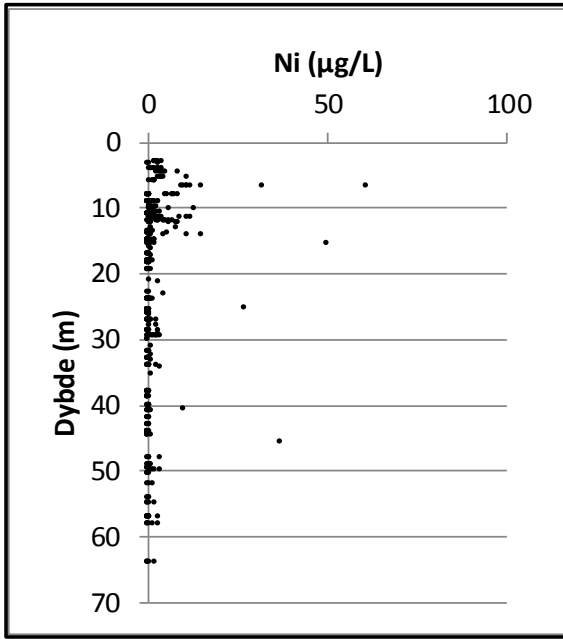
Bilag 14. Lokalenhed Storstrøm. Kobber (Cu) vs dybde, kobber og pH samt kobber og NVOC. Data er indsamlet i perioden 1993-2013 fra aktive boringer i 2013. Koncentrationer under detektionsgrænsen er vist med den numeriske værdi.



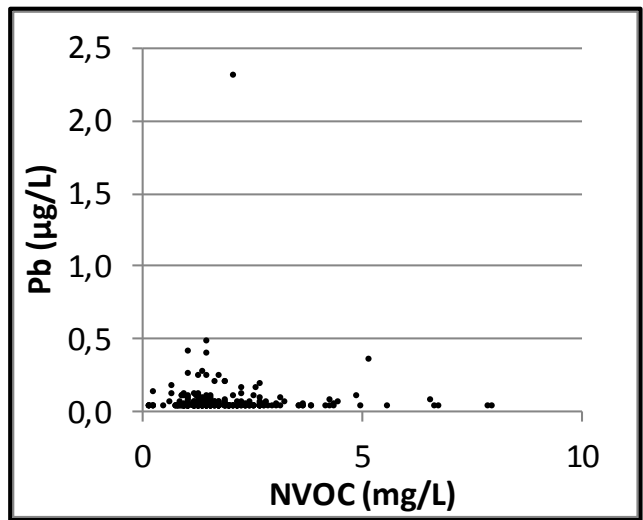
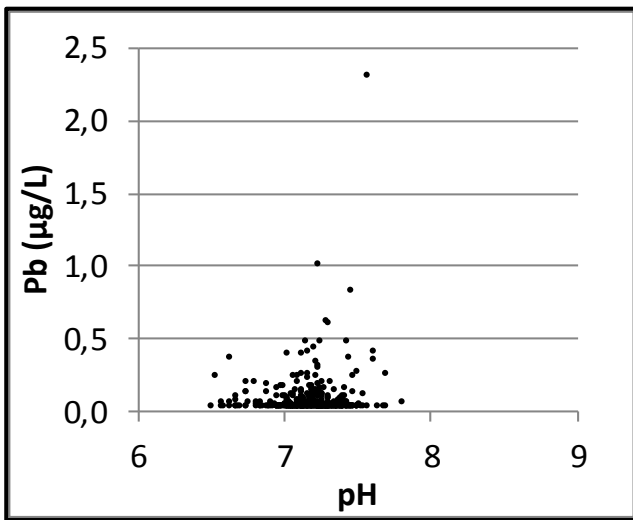
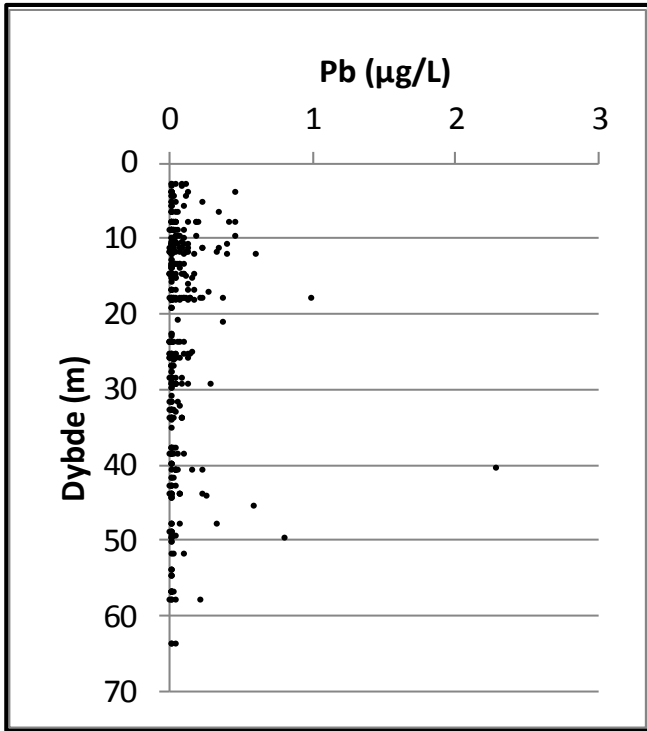
Bilag 15. Lokalenhed Storstrøm. Kviksølv (Hg) vs dybde og kviksølv og NVOC. Data er indsamlet i perioden 1993-2013 fra aktive boringer i 2013. Koncentrationer under detektionsgrænsen er vist med den numeriske værdi.



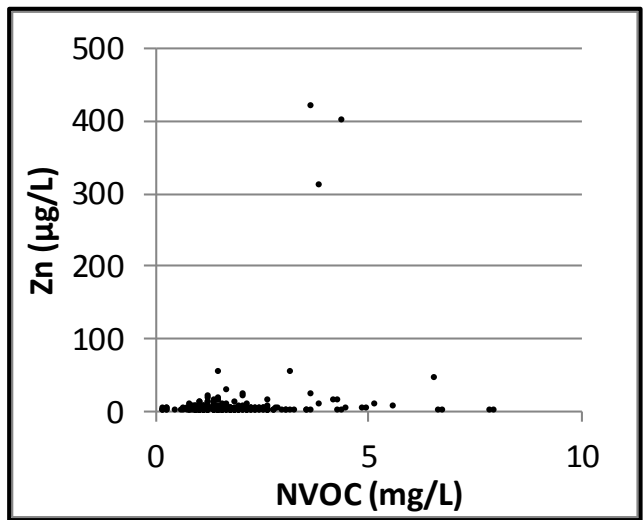
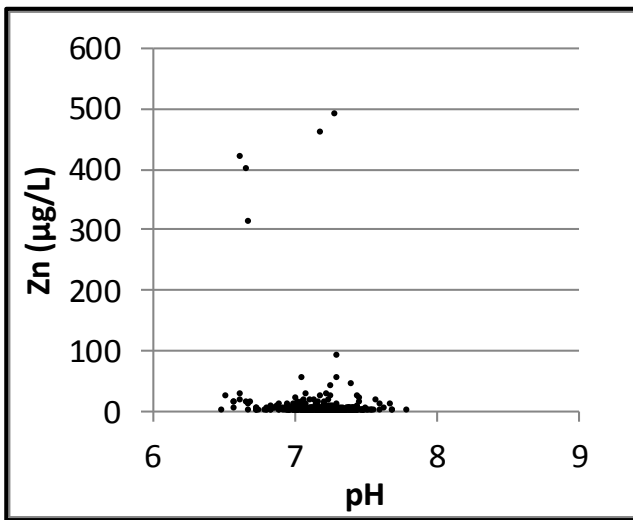
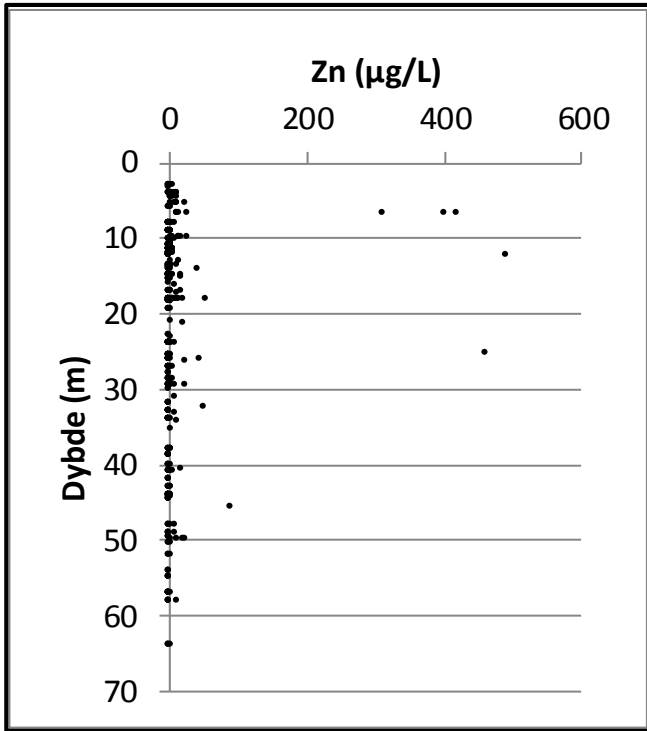
Bilag 16. Lokalenhed Storstrøm. Jod (I) vs dybde, jod og NVOC samt jod og chlorid (Cl). Data er indsamlet i perioden 1993-2013 fra aktive boringer i 2013. Koncentrationer under detektionsgrænsen er vist med den numeriske værdi.



Bilag 17. Lokalenhed Storstrøm. Nikkel (Ni) vs dybde, nikkel og pH, nikkel og ilt (O₂), nikkel og nitrat (NO₃) samt nikkel og NVOC. Data er indsamlet i perioden 1993-2013 fra aktive borer i 2013. Koncentrationer under detektionsgrænsen er vist med den numeriske værdi.



Bilag 18. Lokalenhed Storstrøm. Bly (Pb) vs dybde, bly og pH samt bly og NVOC. Data er indsamlet i perioden 1993-2013 fra aktive boringer i 2013. Koncentrationer under detektionsgrænsen er vist med den numeriske værdi.



Bilag 19. Lokalenhed Storstrøm. Zink (Zn) vs dybde, zink og pH samt zink og NVOC. Data er indsamlet i perioden 1993-2013 fra aktive boringer i 2013. Koncentrationer under detektionsgrænsen er vist med den numeriske værdi.